

FYS2140 Kvantefysikk - Vår 2021

Løsningsforslag for Oblig 8

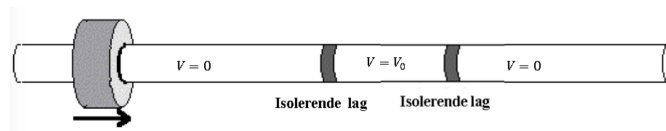
(Versjon 25. februar 2021)

Her er løsninger på A Diskusjonsoppgaver, B Regneoppgaver og C Tilleggsoppgaver (ikke obligatorisk).

A Diskusjonsoppgaver

Oppgave 1 Ladning på wire

Vi ser på en makroskopisk ring med positiv ladning q beveger seg horisontalt mot høyre langs en glatt wire (se figur 1). Det meste av wiren har $V = 0$, men på midten er det et parti med potensial $V = V_0 > 0$ som er atskilt fra resten av wiren med tynne isolerende lag. Anta at ringen er isolert fra wiren og at vi kan se bort fra friksjon.



Figur 1: Ladning som sklir på wire.

- a) Beskriv bevegelsen til ringen hvis den starter med kinetisk energi $E < qV_0$.

Svar: Hvis den kinetiske energien er mindre enn qV_0 , vil ringen snu når den møter potensialet og begynne å bevege seg motsatt vei.

- b) Beskriv bevegelsen til ringen hvis den starter med kinetisk energi $E > qV_0$.

Svar: Hvis den kinetiske energien er større enn qV_0 , vil ringen bremses når den møter potensialet, men fortsette over for så å skyte fart igjen når den kommer til området uten potensial igjen.

- c) Hva blir resultatet hvis du gjør dette 100 ganger der ringen hver gang starter med $E < qV_0$?

Svar: Resultatet blir det samme hver gang, ringen snur alltid når den møter potensialet.

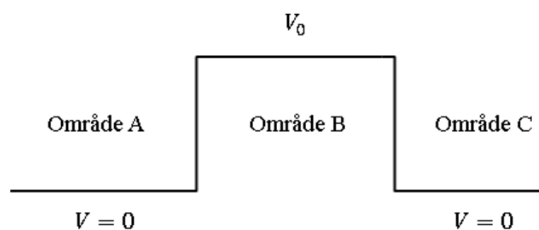
Vi setter nå opp et eksperiment der vi sender en strøm av elektroner med energi E mot et bokspotensial V_0 , se Fig. 2. En detektor måler eventuelle elektroner som kommer inn i område C.

- d) Forklar kvalitativt (uten regning) hvilke utfall du kan få av dette eksperimentet hvis $E < V_0$ og hvis $E > V_0$.

Svar: Selv om $E < V_0$ kan elektroner tunnellere gjennom barrieren og ut i område C. Hvor stor del av partikkelstrømmen som kommer gjennom barrieren, avhenger av størrelsen på E og V_0 og på bredden av potensialboksen. Hvis $E > V_0$ vil mye av partikkelstrømmen gå igjennom barrieren, men noe vil fortsatt reflekteres. Hvor mye som reflekteres, avhenger også her av E og V_0 og av bredden på boksen.

- e) Beskriv med ord og/eller skisser hvordan romdelen $\psi(x)$ av bølgefunksjonene ser ut for område B for de to tilfellene $E < V_0$ og $E > V_0$.

Svar: For $E < V_0$ er romdelen $\psi(x)$ av bølgefunksjonen inne i boksen en avtagende eksponentialfunksjon. For $E > V_0$ har $\psi(x)$ form som en sinus-funksjon.



Figur 2: Firkantpotensial med $V_0 > 0$.

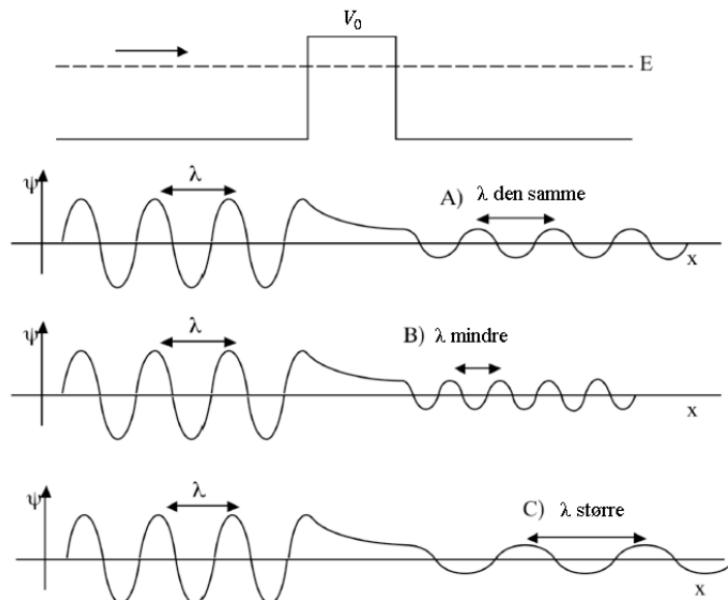
Oppgave 2 Tunnellering

En planbølge kommer inn fra venstre og tunnellerer gjennom en potensialbarriere $V_0 > 0$, se Fig. 3. Hva er riktig utsagn om bølgefunksjonen Ψ (løsning av den tidsavhengige Schrödinger-likningen (TASL)) som er listet opp under?¹. Begrunn svaret.

- A) Ψ har samme bølgelengde på begge sider av barrieren

¹Det finnes en tilsvarende løsning ψ av den tidsuavhengige Schrödinger-likningen (TUSL).

- B) Ψ har kortere bølgelengde etter tunnellingen
- C) Ψ har lenger bølgelengde etter tunnellingen



Figur 3: Bølgefunksjoner ved potensialbarriere.

Svar: A er riktig. Bølgelengden er den samme, siden energien og potensialet er det samme. Partikkelen har altså ikke mistet energi på tunnellingen.

B Regneoppgaver

Oppgave 3 Spredning mot potensialbarriere og tunnelling

Vi ser på (boks)potensialet

$$V(x) = \begin{cases} V_0 & 0 \leq x \leq L \\ 0 & \text{ellers} \end{cases}, \quad (1)$$

hvor $V_0 > 0$.

Finn (analytisk) sannsynligheten for transmisjon og refleksjon som funksjon av energien for en fri-partikkel planbølgeløsning $\psi(x) = Ae^{ikx}$ med

energi $E > 0$, som kommer inn fra venstre. Tegn en figur som klart viser de forskjellige områdene i potensialet, og de innkommende og utgående bølgene som er relevante. Diskuter spesielt hva som skjer når $E = V_0$. Lag et plot av resultatet hvor du bruker et elektron sendt mot et potensial med verdiene $V_0 = 10.0 \text{ eV}$ og $L = 0.2 \text{ nm}$ som et eksempel.

Her er det mye regninger så vi angir sluttsvarene for henholdsvis $E < V_0$, $E = V_0$ og $E > V_0$:

$$T(E) = \frac{1}{1 + \frac{V_0^2}{4(V_0 - E)E} \sinh^2 \left(\frac{\sqrt{2m(V_0 - E)}}{\hbar} L \right)}, \quad (2)$$

$$T(V_0) = \frac{1}{1 + \frac{mL^2}{2\hbar^2} V_0}, \quad (3)$$

$$T(E) = \frac{1}{1 + \frac{V_0^2}{4E(E - V_0)} \sin^2 \left(\frac{\sqrt{2m(E - V_0)}}{\hbar} L \right)}. \quad (4)$$

- a) Tegn en figur som klart viser de forskjellige områdene i potensialet, og de innkommende og utgående bølgene som er relevante. Inkluder tilfellene der $E < V_0$ og $E > V_0$, og diskuter spesielt hva som skjer når $E = V_0$. E er partikkelens energi.

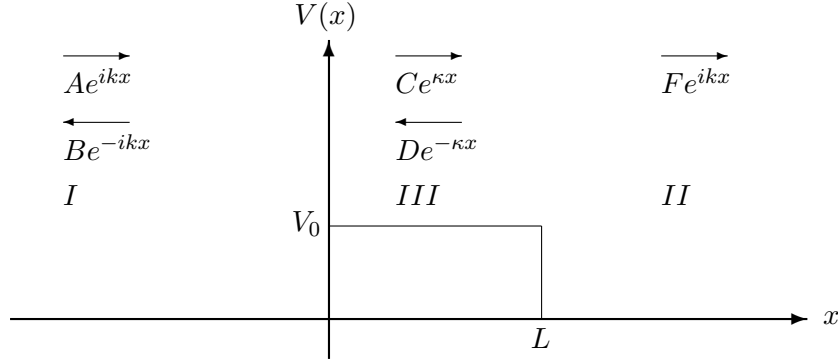
Svar: Figur 4 viser de tre områdene for potensialet (I, II og III), de innkommende og utgående planbølgene, og løsningene inne i boksen. Merk at vi ikke har noen innkommende bølge fra høyre da denne ikke kan ha noen fysisk tolkning i dette problemet. Schrödingerligningen utenfor boksen (fri partikkel) er

$$\frac{d^2\psi}{dx^2} = -\frac{2mE}{\hbar^2}\psi = -k^2\psi, \quad (5)$$

med $k \equiv \sqrt{2mE}/\hbar$.

Inne i boksen må vi skille mellom $0 < E < V_0$, som er klassisk forbudt (ingen transmisjon), og $E > V_0$ (ingen refleksjon).

- b) Løs Schrödingerligningen i alle relevante områder for de 3 tilfellene ($E < V_0$, $E = V_0$, $E > V_0$). Bruk grensebetingelsene til å sette opp ligningssett for de ulike koeffisientene. *Hint: For tilfellet $E > V_0$ er det hensiktsmessig å bruke løsninger på TUSL på sinusform inne i boks-potensialet.*
- c) Finn (analytisk) sannsynligheten for transmisjon og refleksjon som funksjon av energien for en fri-partikkel planbølgeløsning $\psi(x) = Ae^{ikx}$ med energi $E > 0$, som kommer inn fra venstre. *Hint: For $E > V_0$ er det hensiktsmessig å først bestemme R , og deretter finne $T = 1 - R$.*



Figur 4: Skisse av potensialet gitt i (1).

Svar: For $0 < E < V_0$ er

$$\frac{d^2\psi}{dx^2} = -\frac{2m(E - V_0)}{\hbar^2}\psi = \kappa^2\psi, \quad (6)$$

med $\kappa \equiv \sqrt{2m(V_0 - E)}/\hbar$. For $E > V_0$ er

$$\frac{d^2\psi}{dx^2} = -\frac{2m(E - V_0)}{\hbar^2}\psi = -l^2\psi, \quad (7)$$

med $l \equiv \sqrt{2m(E - V_0)}/\hbar$.

For $0 < E < V_0$ har Schrödingerligningen da de følgende løsningene i de tre områdene

$$\psi_I(x) = A e^{ikx} + B e^{-ikx}, \quad (8)$$

$$\psi_{II}(x) = F e^{ikx}, \quad (9)$$

$$\psi_{III}(x) = C e^{\kappa x} + D e^{-\kappa x}. \quad (10)$$

Transmisjonssannsynligheten T er gitt som forholdet mellom absoluttverdikvadratet av utgående (mot høyre) amplitude F og innkommende (fra venstre) amplitude A ,

$$T = \frac{|F|^2}{|A|^2}. \quad (11)$$

Vi bruker kravet til kontinuitet for bølgefunksjonen, og den deriverte av bølgefunksjonen, i overgangen mellom de tre områdene ($x = 0$ og $x = L$), for å finne forholdet mellom amplitudene A , B , C , D og F . Dette gir det følgende ligningssettet

$$A + B = C + D, \quad (12)$$

$$C e^{\kappa L} + D e^{-\kappa L} = F e^{ikL}, \quad (13)$$

$$ikA - ikB = \kappa C - \kappa D, \quad (14)$$

$$\kappa C e^{\kappa L} - \kappa D e^{-\kappa L} = ikF e^{ikL}. \quad (15)$$

For å løse dette for A og F må vi eliminere C og D som vi ikke er interessert i. Vi begynner med å ta $ik(12)+(14)$ og $ik(12)-(14)$ som gir

$$2ikA = (ik + \kappa)C + (ik - \kappa)D, \quad (16)$$

$$2ikB = (ik - \kappa)C + (ik + \kappa)D. \quad (17)$$

Deretter finner vi $\kappa(13)+(15)$ og $\kappa(13)-(15)$

$$2\kappa C e^{\kappa L} = (\kappa + ik)F e^{ikL}, \quad (18)$$

$$2\kappa D e^{-\kappa L} = (\kappa - ik)F e^{ikL}. \quad (19)$$

Innsatt i (16) får vi

$$2ikA = \frac{(\kappa + ik)^2}{2\kappa} F e^{(ik-\kappa)L} - \frac{(\kappa - ik)^2}{2\kappa} F e^{(ik+\kappa)L}. \quad (20)$$

Vi har nå det forholdet mellom A og F som vi trenger, og resten er ren pynting på resultatet.

$$\begin{aligned} A &= \frac{1}{4ik\kappa} \left[(\kappa + ik)^2 e^{(ik-\kappa)L} - (\kappa - ik)^2 e^{(ik+\kappa)L} \right] F \\ &= \frac{1}{4ik\kappa} \left[(\kappa + ik)^2 e^{-\kappa L} - (\kappa - ik)^2 e^{\kappa L} \right] e^{ikL} F \\ &= \frac{1}{4ik\kappa} \left[(\kappa^2 + 2ik\kappa - k^2) e^{-\kappa L} - (\kappa^2 - 2ik\kappa - k^2) e^{\kappa L} \right] e^{ikL} F \\ &= \frac{1}{4ik\kappa} \left[2ik\kappa (e^{-\kappa L} + e^{\kappa L}) - (\kappa^2 - k^2) (e^{\kappa L} - e^{-\kappa L}) \right] e^{ikL} F \\ &= \frac{1}{4ik\kappa} \left[4ik\kappa \cosh \kappa L - 2(\kappa^2 - k^2) \sinh \kappa L \right] e^{ikL} F \\ &= \left[\cosh \kappa L - \frac{(\kappa^2 - k^2)}{2ik\kappa} \sinh \kappa L \right] e^{ikL} F, \end{aligned} \quad (21)$$

hvor vi har brukt (fra Rottmann) at $2 \cosh x = e^x + e^{-x}$ og $2 \sinh x = e^x - e^{-x}$. Da er transmisjonssannsynligheten

$$\begin{aligned} T &= \frac{|F|^2}{|A|^2} = \frac{1}{\left| \cosh \kappa L - \frac{(\kappa^2 - k^2)}{2ik\kappa} \sinh \kappa L \right|^2} \\ &= \frac{1}{\cosh^2 \kappa L + \frac{(\kappa^2 - k^2)^2}{(2k\kappa)^2} \sinh^2 \kappa L} \\ &= \frac{1}{1 + \sinh^2 \kappa L + \frac{(\kappa^2 - k^2)^2}{4k^2 \kappa^2} \sinh^2 \kappa L} \\ &= \frac{1}{1 + \frac{(\kappa^2 - k^2)^2 + 4k^2 \kappa^2}{4k^2 \kappa^2} \sinh^2 \kappa L} \\ &= \frac{1}{1 + \frac{(\kappa^2 + k^2)^2}{4k^2 \kappa^2} \sinh^2 \kappa L}, \end{aligned} \quad (22)$$

hvor vi har brukt at $\cosh^2 x - \sinh^2 x = 1$.

Det som står igjen er å skrive om T til en funksjon av energien E . Vi bruker definisjonene for k og κ som gir

$$\kappa^2 + k^2 = \frac{2m(V_0 - E)}{\hbar^2} + \frac{2mE}{\hbar^2} = \frac{2mV_0}{\hbar^2}, \quad (23)$$

og

$$\kappa^2 k^2 = \frac{2m(V_0 - E)}{\hbar^2} \frac{2mE}{\hbar^2} = \frac{4m^2(V_0 - E)E}{\hbar^4}, \quad (24)$$

slik at

$$\frac{(\kappa^2 + k^2)^2}{4k^2\kappa^2} = \frac{\left(\frac{2mV_0}{\hbar^2}\right)^2}{4\frac{4m^2(V_0 - E)E}{\hbar^4}} = \frac{V_0^2}{4(V_0 - E)E}. \quad (25)$$

Vi får da (endelig) at for $0 < E < V_0$

$$T(E) = \left[1 + \frac{V_0^2}{4(V_0 - E)E} \sinh^2 \left(\frac{\sqrt{2m(V_0 - E)}}{\hbar} L \right) \right]^{-1}. \quad (26)$$

Vi har også at $R(E) = 1 - T(E)$.

For $E > V_0$ er løsningene

$$\psi_I(x) = Ae^{ikx} + Be^{-ikx}, \quad (27)$$

$$\psi_{II}(x) = Fe^{ikx}, \quad (28)$$

$$\psi_{III}(x) = C \sin(lx) + D \cos(lx). \quad (29)$$

Kravene til kontinuitet gir nå

$$A + B = D, \quad (30)$$

$$C \sin(lL) + D \cos(lL) = Fe^{ikL}, \quad (31)$$

$$ikA - ikB = lC, \quad (32)$$

$$Cl \cos(lL) - Dl \sin(lL) = ikFe^{ikL}. \quad (33)$$

Her kan vi eliminere C og D fra ligning (31) og (33) ved hjelp av ligning (30) og (32):

$$(ikA - ikB) \sin(lL) + (A + B)l \cos(lL) = Fle^{ikL}, \quad (34)$$

$$(ikA - ikB)l \cos(lL) - (A + B)l^2 \sin(lL) = iklFe^{ikL}. \quad (35)$$

Vi kan nå dele disse ligningene på hverandre for å eliminere F :

$$\frac{(ikA - ikB)l \cos(lL) - (A + B)l^2 \sin(lL)}{(ikA - ikB) \sin(lL) + (A + B)l \cos(lL)} = ik. \quad (36)$$

Vi løser så for A ,

$$A(k^2 - l^2) \sin(lL) = B(l^2 + k^2) \sin(lL) + 2iBkl \cos(lL), \quad (37)$$

som gir

$$A = \frac{(l^2 + k^2) \sin(lL) + 2ikl \cos(lL)}{(k^2 - l^2) \sin(lL)} B. \quad (38)$$

Refleksjonskoeffisienten er da

$$\begin{aligned} R &\equiv \frac{|B|^2}{|A|^2} = \frac{(k^2 - l^2)^2 \sin^2(lL)}{(k^2 + l^2)^2 \sin^2(lL) + 4k^2 l^2 \cos^2(lL)} \\ &= \frac{(k^2 - l^2)^2 \sin^2(lL)}{(k^2 - l^2)^2 \sin^2(lL) + 4k^2 l^2} \\ &= \frac{\frac{(k^2 - l^2)^2}{4k^2 l^2} \sin^2(lL)}{1 + \frac{(k^2 - l^2)^2}{4k^2 l^2} \sin^2(lL)}, \end{aligned} \quad (39)$$

og transmisjonskoeffisienten blir

$$T = 1 - R = \frac{1}{1 + \frac{(k^2 - l^2)^2}{4k^2 l^2} \sin^2(lL)}. \quad (40)$$

Vi bytter k og l med energien gjennom

$$k^2 - l^2 = \frac{2mE}{\hbar^2} - \frac{2m(E - V_0)}{\hbar^2} = \frac{2mV_0}{\hbar^2}, \quad (41)$$

og

$$k^2 l^2 = \frac{2mE}{\hbar^2} \frac{2m(E - V_0)}{\hbar^2} = \frac{4m^2 E(E - V_0)}{\hbar^4}, \quad (42)$$

slik at

$$\frac{(k^2 - l^2)^2}{4k^2 l^2} = \frac{\frac{4m^2 V_0^2}{\hbar^4}}{4 \frac{4m^2 E(E - V_0)}{\hbar^4}} = \frac{V_0^2}{4E(E - V_0)}. \quad (43)$$

Da er

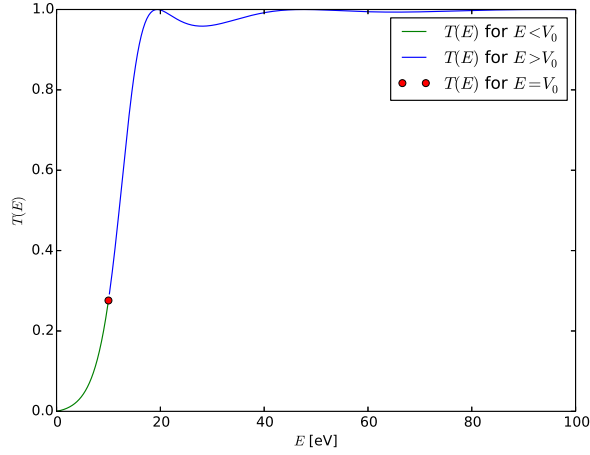
$$T(E) = \frac{1}{1 + \frac{V_0^2}{4E(E - V_0)} \sin^2\left(\frac{\sqrt{2m(E - V_0)}}{\hbar} L\right)}. \quad (44)$$

Vi kan finne svaret for tilfellet $E = V_0$ enten ved å ta grensen til transmisjonskoeffisientene for $E < V_0$ og $E > V_0$, eller ved å regne transmisjonskoeffisienten spesielt for dette tilfellet fra grunnen av.² Dersom vi tar grensene må vi vise at

$$\lim_{E \rightarrow V_0^+} T(E) = \lim_{E \rightarrow V_0^-} T(E) = \frac{1}{1 + \frac{mL^2 V_0}{2\hbar^2}}. \quad (45)$$

Regnet fra grunnen av så er TUSL i område III når $E = V_0$ gitt ved

$$\frac{d^2 \psi}{dx^2} = 0. \quad (46)$$



Figur 5: Transmisjonskoeffisienten i et eksempel med et elektron med masse $m = 0.511 \text{ MeV}/c^2$, $V_0 = 10.0 \text{ eV}$ og $L = 0.2 \text{ nm}$.

Denne har løsningen $\psi(x) = Cx + D$. Kravene til kontinuitet gir

$$A + B = D, \quad (47)$$

$$CL + D = Fe^{ikL}, \quad (48)$$

$$ikA - ikB = C, \quad (49)$$

$$C = ikFe^{ikL}. \quad (50)$$

Fra (49) og (50) får vi $A - B = Fe^{ikL}$, og fra (48), (47) og (49) får vi $A(1 + ikL) + B(1 - ikL) = Fe^{ikL}$. Vi kan eliminere B og får da et forhold mellom A og F :

$$\begin{aligned} A(1 + ikL) + A(1 - ikL) &= Fe^{ikL} + (1 - ikL)Fe^{ikL} \\ 2A &= (2 - ikL)Fe^{ikL}, \end{aligned} \quad (51)$$

som gir transformasjonskoeffisienten

$$T = \frac{|F|^2}{|A|^2} = \frac{4}{4 + k^2L^2} = \frac{1}{1 + \frac{k^2L^2}{4}} = \frac{1}{1 + \frac{mL^2}{2\hbar^2}V_0}. \quad (52)$$

- d) Lag et plot av transmisjonskoeffisienten for de 3 tilfellene nevnt i a).
 Bruk et elektron sendt mot et potensial med verdiene $V_0 = 10.0 \text{ eV}$ og $L = 0.2 \text{ nm}$ som et eksempel.

²Ikke overraskende får vi samme svar, men vi burde egentlig regne tilfellet $E = V_0$ fra grunnen av. Det er logisk mulig at dette ikke er det samme som de to grensene, men det viser seg at transmisjonskoeffisienten er kontinuerlig i $E = V_0$.

Svar: Figur 5 viser transmisjonskoeffisienten for bestemte parameterverdier.

C Tilleggsoppgave (ikke obligatorisk)

Oppgave 4 3D HO og degenerasjon (fra Griffiths, kap. 4)

Bruk separasjon av variable teknikken i *kartesiske* koordinater til å løse det kubiske uendelig brønn potensialet:

$$V(x, y, z) = \begin{cases} 0, & 0 < x, y, z < a \\ \infty, & \text{ellers.} \end{cases} \quad (53)$$

a) Finn de stasjonære tilstandene og de korresponderende energiene.

Svar: Fordi potensialet er kubisk kan det deles opp i tre komponenter $V(x, y, z) = X(x) + Y(y) + Z(z)$, hvor

$$X(x) = \begin{cases} 0, & 0 < x < a \\ \infty, & \text{ellers,} \end{cases} \quad (54)$$

og tilsvarende for $Y(y)$ og $Z(z)$. Hvis vi antar at løsningene til SL

$$\hat{H}\Psi(\vec{r}, t) = i\hbar \frac{\partial}{\partial t} \Psi(\vec{r}, t), \quad (55)$$

kan skrives på separert form: $\Psi(\vec{r}, t) = \psi_x(x)\psi_y(y)\psi_z(z)\phi(t)$, så vet vi at $\phi(t) = e^{-iEt/\hbar}$ og at $\psi(\vec{r}) = \psi_x(x)\psi_y(y)\psi_z(z)$ er løsningen av den tidsuavhengige SL (TUSL):

$$-\frac{\hbar^2}{2m} \nabla^2 \psi(\vec{r}) + V(x, y, z)\psi(\vec{r}) = E\psi(\vec{r}). \quad (56)$$

Denne kan skrives

$$-\frac{\hbar^2}{2m} \left(\frac{1}{\psi_x(x)} \frac{d^2}{dx^2} \psi_x(x) + \frac{1}{\psi_y(y)} \frac{d^2}{dy^2} \psi_y(y) + \frac{1}{\psi_z(z)} \frac{d^2}{dz^2} \psi_z(z) \right) + X(x) + Y(y) + Z(z) = E, \quad (57)$$

hvor vi har delt på begge sider med $\psi_x(x)\psi_y(y)\psi_z(z)$. Uttrykket kan reorganiseres i tre ledd

$$\begin{aligned} & -\frac{\hbar^2}{2m} \frac{1}{\psi_x(x)} \frac{d^2}{dx^2} \psi_x(x) + X(x) \\ & -\frac{\hbar^2}{2m} \frac{1}{\psi_y(y)} \frac{d^2}{dy^2} \psi_y(y) + Y(y) \\ & -\frac{\hbar^2}{2m} \frac{1}{\psi_z(z)} \frac{d^2}{dz^2} \psi_z(z) + Z(z) = E, \end{aligned} \quad (58)$$

hvor hvert ledd må være konstant da x , y og z kan endres uavhengig av hverandre. Vi kaller disse konstantene for E_x , E_y og E_z , slik at $E = E_x + E_y + E_z$. Dette gir tre uavhengige TUSL i hver sin koordinat, f.eks.

$$-\frac{\hbar^2}{2m} \frac{d^2}{dy^2} \psi_y(y) + Y(y) \psi_y(y) = E_y \psi_y(y), \quad (59)$$

med et uendelig brønn-potensiale. Vi har sett i en dimensjon at disse har løsning

$$\psi_y(y) = A \sin(k_y y) + B \cos(k_y y), \quad (60)$$

hvor

$$k_y = \sqrt{2mE_y/\hbar}. \quad (61)$$

Vi bruker så grensebetingelsene: $\psi_y(0) = 0$ som gir $B = 0$, og $\psi_y(a) = 0$ som gir $A \sin(k_y a) = 0$, altså kvantiseringen av bølgetallet $k_y = n_y \pi / a$ med $n_y = 1, 2, \dots$ ($n_y = 0$ fungerer dårlig fordi $\psi_y(y) = 0$ for alle y , og negative verdier kan absorberes i A). Videre kan vi bestemme A ved normering som vi gjorde for en uendelig brønn i en dimensjon:

$$\int_{-\infty}^{\infty} |\psi_y(y)|^2 dy = \int_0^a |A|^2 \sin^2\left(\frac{n_y \pi}{a} y\right) dy = |A|^2 \frac{a}{2} = 1, \quad (62)$$

slik at vi kan velge $A = \sqrt{2/a}$. Merk at vi velger å normere ψ_x , ψ_y og ψ_z hver for seg, men vi kunne ha ventet til slutt med denne normeringen. Sammen med de tilsvarende løsningene for de andre koordinatene gir dette de stasjonære tilstandene

$$\Psi(\vec{r}, t) = \left(\frac{2}{a}\right)^{\frac{3}{2}} \sin\left(\frac{n_x \pi}{a} x\right) \sin\left(\frac{n_y \pi}{a} y\right) \sin\left(\frac{n_z \pi}{a} z\right) e^{-iEt/\hbar}. \quad (63)$$

Fra (61) har vi den kvantiserte verdien av E_y :

$$E_y = \frac{\hbar^2 k_y^2}{2m} = \frac{\pi^2 \hbar^2}{2ma^2} n_y^2. \quad (64)$$

Sammen med den tilsvarende kvantiseringen for de andre koordinatene gir dette energiene til de stasjonære tilstandene

$$E = E_x + E_y + E_z = \frac{\pi^2 \hbar^2}{2ma^2} (n_x^2 + n_y^2 + n_z^2). \quad (65)$$

Vi ser at kvantiseringen har tre kvantetall, en for hver dimensjon av brønnen. Dette fører til degenerasjon i energinivåene.

- b) Kall de distinkte energiene E_1, E_2, E_3, \dots , ordnet etter stigende energi. Finn E_1, E_2, E_3, E_4, E_5 og E_6 . Bestem degenerasjonsgraden til de ulike energiene (altså, antall tilstander med samme energi). *Kommentar:* I

endimensjonale problemer opptrer ikke degenererte bundne tilstander (se Oblig 7), men i tre dimensjoner er de vanlige.

Svar: De seks laveste distinkte energinivåene er gitt ved de seks laveste verdiene av $n_x^2 + n_y^2 + n_z^2$, for $n_x, n_y, n_z = 1, 2, \dots$. Degenerasjonsgraden for disse energinivåene er gitt ved antall distinkte permutasjoner av kvantetallene. Vi viser energinivåene i tabell 1 sammen med degenerasjonsgrad og eksempler på kombinasjoner av kvantetall (n_x, n_y, n_z) som gir de aktuelle energiene. Om en ønsker å finne nye energinivåer

Energi	Degenerasjonsgrad	Eksempel på kvantetall
$E_1 = \frac{3\pi^2\hbar^2}{2ma^2}$	1	(1,1,1)
$E_2 = \frac{3\pi^2\hbar^2}{ma^2}$	3	(2,1,1)
$E_3 = \frac{9\pi^2\hbar^2}{2ma^2}$	3	(2,2,1)
$E_4 = \frac{11\pi^2\hbar^2}{2ma^2}$	3	(3,1,1)
$E_5 = \frac{6\pi^2\hbar^2}{ma^2}$	1	(2,2,2)
$E_6 = \frac{7\pi^2\hbar^2}{ma^2}$	6	(3,2,1)

Tabell 1: De første seks energinivåene for en partikkel i en kubisk uendelig brønn, med degenerasjonsgrad og eksempel på kvantetall.

kan det være lurt å tenke på dette som punkter i et tre-dimensjonalt rutenett.

- c) Hva er degenerasjonsgraden til E_{14} , og hvorfor er dette tilfellet interessant?

Svar: De neste energinivåene er gitt ved kvantetallene $E_7(3, 2, 2)$, $E_8(4, 1, 1)$, $E_9(3, 3, 1)$, $E_{10}(4, 2, 1)$, $E_{11}(3, 3, 2)$, $E_{12}(4, 2, 2)$, $E_{13}(4, 3, 1)$, og degenerasjonsgraden er antall distinkte permutasjoner av disse kvantetallene, altså enten 1, 3 eller 6. E_{14} er spesiell fordi både $(3, 3, 3)$ og $(5, 1, 1)$ gir dette energinivået, degenerasjonsgraden er 4, altså høyere enn hva man kan få fra kombinatorikk på $(5, 1, 1)$, og det er det første slike tilfellet for en partikkel i en uendelig kubisk brønn.